



بررسی تاثیر لایه چینی و نیروی پیشران بر سرعت فلاتر بهینه بال کامپوزیتی

محمد رضا فلاحت^۱, مجتبی فرج^{۲*}, سعید ایرانی^۳

۱- دانشجوی کارشناسی ارشد، سازه‌های هوایی، دانشگاه صنعتی خواجه نصیرالدین طوسی، تهران

۲- استادیار، سازه‌های هوایی، دانشگاه صنعتی خواجه نصیرالدین طوسی، تهران

۳- دانشیار، سازه‌های هوایی، دانشگاه صنعتی خواجه نصیرالدین طوسی، تهران

* تهران، صندوق پستی ۳۳۸۱-۱۶۷۶۵

چکیده

در این مقاله سرعت ناپایداری آبروالاستیک بال کامپوزیتی توسط الگوریتم ژنتیک نسبت به زاویه قرارگیری الیاف برای تعداد لایه‌ها و نیروی پیشران مختلف بهینه شده است. بال هواییما به صورت یک تیر دارای دو درجه آزادی و یک سر گیردار به همراه نیروی پیشران تعیب کننده و جرم موتور مدل شده است. برای مدل سازی بال کامپوزیتی از تئوری لایه‌ای و مدل سازی آبرودینامیکی از تئوری جریان ناپایاب با فرض جریان مادون صوت و تراکم‌ناپذیر در حوزه زمان استفاده شده است. معادلات حاکم بر حرکت بال با استفاده از روابط لاغرانژ و در نظر گرفتن مدهای فرضی استخراج گردیده‌اند. سرعت فلاتر خطی نیز با توجه به روش مقدار ویژه محاسبه گردیده است. فرآیند محاسبه سرعت فلاتر به صورت کد نرم‌افزاری تهیه شده است که این کد با توجه به تعداد لایه‌ها، زاویه الیاف در هر لایه، جرم موتور، و نیروی پیشران قادر به محاسبه سرعت فلاتر می‌باشد. برای هر حالت که در آن تعداد لایه‌ها، جرم موتور، و نیروی پیشران مشخص می‌باشد، بهینه‌سازی با تغییر زاویه الیاف توسط الگوریتم ژنتیک انجام شده و سرعت فلاتر بهینه برای آن مشخص شده است. در نهایت نیز تاثیر تعداد لایه‌ها، جرم موتور، و نیروی پیشران بر سرعت فلاتر بهینه بررسی شده است.

اطلاعات مقاله

مقاله پژوهشی کامل

دربافت: ۲۸ فروردین ۱۳۹۵

پذیرش: ۳۱ اردیبهشت ۱۳۹۵

ارائه در سایت: ۰۸ تیر ۱۳۹۵

کلید واژگان:

آبروالاستیک

فلاتر

بال کامپوزیت

بهینه‌سازی

الگوریتم ژنتیک

The effect of laminate layers and follower force on optimum flutter speed of composite wing

Mohammad Reza Fallah, Mojtaba Farrokhi*, Saeid Irani

Faculty of Aerospace Engineering, K.N.Toosi University of Technology, Tehran, Iran
* P.O.B. 16765-3381, Tehran, Iran, farrokhi@kntu.ac.ir

ARTICLE INFORMATION

Original Research Paper
Received 16 April 2016
Accepted 20 May 2016
Available Online 22 June 2016

Keywords:
Aeroelasticity
Flutter
Composite wing
Optimization
Genetic algorithm

ABSTRACT

In this article the composite wing aeroelastic instability speed is optimized by genetic algorithm relative to fiber angle for different layers and follower forces. Aircraft wing is modeled as a beam with two degrees of freedom, which is a cantilever, with thrust as a follower force and mass of the engine. For structural modeling of composite wing the layer theory has been used and unsteady flow assuming subsonic and incompressible flow was used for aerodynamic model in the time domain. Using the assumed mode the wing dynamic equations of the motion were derived by Lagrange equations. Linear flutter speed according to the eigenvalues of the motion equations was calculated. The process of flutter speed calculation has been converted to computer code in which the number of layers, angle of fibers in each layer, the mass of the engine, and the thrust are input variables and the flutter speed is its output. Using Genetic Algorithm, optimum flutter speed was obtained by changing the angle of fibers. Finally, the impact of the number of layers, the mass of the engine, and thrust on optimum flutter speed has been investigated.

سازه شده و نهایتاً آن را متلاشی کند. یکی از خطرناک‌ترین ناپایداری‌های آبروالاستیک دینامیکی که در طراحی و تحلیل بال هواییما مورد بررسی قرار می‌گیرد، فلاتر^۱ می‌باشد. این پدیده از برهمکنش نیروهای آبرودینامیکی، نیروهای الاستیک و نیروهای اینرسی ایجاد شده و می‌تواند باعث گسیختگی ناگهانی سازه بال هواییما شود.

تاکنون در ارتباط با تحلیل بال هواییما با توجه به بارگذاری‌های دینامیکی مختلف کارهای گوناگونی انجام شده و کتاب‌های بسیاری نیز در این زمینه منتشر گردیده است [۱, ۲]. در زمینه بررسی مساله پایداری ساختار انعطاف

^۱ Flutter

بررسی رفتار استاتیک و دینامیک سازه الاستیک در جریان سیال (هوای) را آبروالاستیسیته می‌گویند. امروزه به دلیل تمایل به کاهش مصرف سوخت، حتی الامکان از مواد سبک در ساخت هواپیماها استفاده می‌شود. استفاده از این مواد در طراحی هواپیما باعث افزایش انعطاف‌پذیری سازه به خودی خود برای تحلیل سازه مشکل‌ساز نیست اما از آن جا که تغییر شکل‌های سازه‌ای باعث تغییر در نیروهای آبرودینامیکی می‌شود و نیروهای آبرودینامیکی جدیدی را بوجود می‌آورند، پدیده‌های آبروالاستیک آشکار می‌شوند. گاهی ممکن است بر هم کنش این عوامل باعث بزرگ‌تر شدن دامنه تغییر شکل‌های

نشده است. از فرضیات عمدۀ این روش آن است که جریان سیال تراکمن‌پذیر بوده و بال در دو جهت از صفحه تقارن تا نهایت ادامه پیدا می‌کند لذا جریان پیرامون بالواره برای هر سطح مقطع عرضی عمود بر بال یکسان بوده و جریان به صورت دوبعدی است. ضمناً از اثرات لزجت سیال صرف نظر شده و زاویه حمله کوچک در نظر گرفته شده است. در "شکل 1" و "شکل 2" مدل بال موردنظر به صورت شماتیک نشان داده شده است. همچنین "شکل 3" بال تغییر شکل پافته را نشان می‌دهد.

با توجه به این که بال مورد نظر در این مقاله دارای دو درجه آزادی خمش و پیچش می‌باشد، از تغییر شکل‌ها در جهت طولی (۱) و عرضی (۲) صرف نظر خواهد شد. این بدان معنا است که بال مورد نظر از نظر طولی غیر قابل انعطاف‌پذیر می‌باشد. همچنین سختی خمشی در جهت γ نسبت به سختی خمشی در جهت α بسیار زیاد در نظر گرفته می‌شود. بدین ترتیب بردار جایجایی جرم متتمرکز پس از تغییر شکل بال به صورت رابطه (۱) خواهد بود [۱۶]:

$$R_s = (x + u)\hat{i} + v\hat{j} + w\hat{k} + y\hat{j}' + z_s\hat{k}' \quad (1)$$

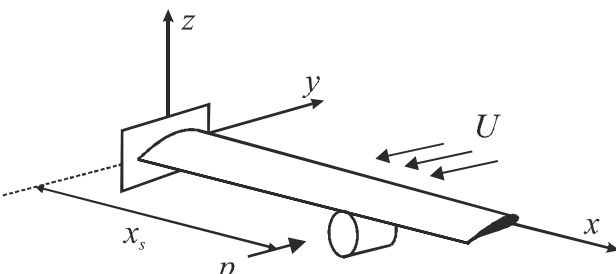


Fig. 1 The wing with engine configuration[13]

شکل 1 نحوه اتصال موتور به بال [13]

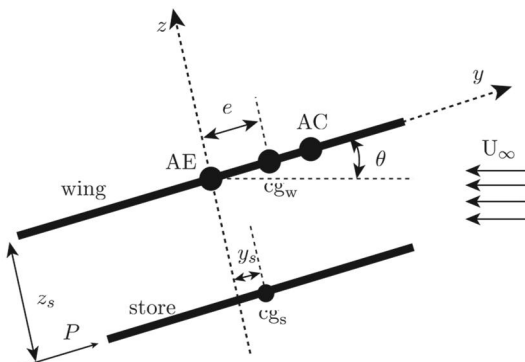


Fig. 2 Side view of wing [13]

شکل 2 نمای جانبی بال [13]

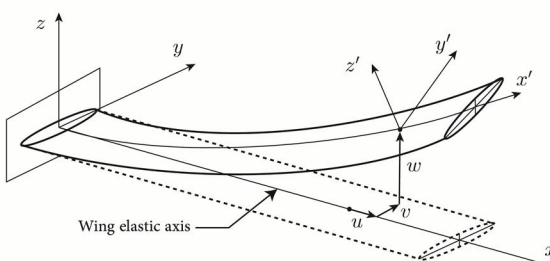


Fig. 3 The wing situation before and after the deformation of elastic[17]

شکل 3 وضعیت بال قبل و بعد از تغییر شکل‌های الاستیک [17]

پذیر تحت نیروهای پیشran و کتاب‌های کمتری موجود می‌باشد. در سال 1974 فلدت و هرمن موفق شدند تا فلاتر بال یکسر درگیر را که تحت اثر نیروی رانش بوده و جرم متتمرکز در انتهای آن قرار گرفته است را بررسی کنند [۳]. در سال 1979 پایداری تیر یکسر در گیر تحت اثر نیروی غیر پایستار توسط کلپ بررسی شد [۴]. هاجز و همکارانش در سال 2002 با در نظر گرفتن دو درجه آزادی برای بال اثر نیروی رانش بر پایداری بال را مورد بررسی قرار دادند [۵]. این تحلیل نشان داد که نیروی پیشran موتور بر روی مرز نایپایداری بال تأثیر منفی دارد که این اثر با توجه به پارامترهای سازه‌ای کم و یا بیشتر می‌شود. در سال 1945 گولند فلاتر یک بال یک سرگیردار و یکنواخت را برای پارامترهای مختلف بدست آورد [۶] و پس از آن نیز در سال 1948 این مسئله را برای یک بال یکسر گیردار همراه با جرم متتمرکز در نوک بال محاسبه کرد [۷]. در سال 1998 گرن و لیبرسکیو فلاتر و واگرایی یک بال با زاویه γ عقب رفت را که جرم‌های متتمرکز را در طول و نوک خود حمل می‌کند را با مدل بارگذاری غیردائمی (مدل تئودرسون)، بدست آوردند [۸]. در این پژوهش معادلات حاکم بر بال با استفاده از اصل هامیلتون همراه با شرایط مرزی بدست آمده است. در همین سال لیبرسکیو و گرن مقاله‌ای دیگر در مورد جرم متتمرکز و بال با زاویه γ عقب رفت ارائه دادند که در این پژوهش به مسئله استاتیک ایروالاستیک بیشتر پرداخته شده است [۹]. مزیدی و فاضل زاده در سال 2009 تأثیر زاویه عقبگرد بال بر نایپایداری دینامیکی بال و موتور متصل به آن را بررسی کردند [۱۰]. همچنین آن‌ها در سال 2010 تأثیر مانور غلتش را بر نایپایداری استاتیکی و دینامیکی بال هواپیما و جرم متصل به آن مورد مطالعه قرار دادند [۱۱]. مزیدی و فاضل زاده در سال 2011 به بررسی تأثیر سرعت مانور محوری هواپیما بر نایپایداری دینامیکی بال هواپیما تحت نیروی پیشran، پرداختند [۱۲]. در سال 2013 آموزگار و ایرانی نایپایداری بال کامپوزیتی تک - لایه را که دارای موتور بود، براساس تغییر زاویه الیاف تک لایه، موقعیت قرارگیری موتور و نیروی بی بعد پیشran، مورد بررسی قرار دادند [۱۳].

حال در این مقاله ضمن این که موقعیت قرار گیری موتور با توجه به نوع بال، ثابت و بال به صورت کامپوزیت در نظر گرفته شده، با استفاده از الگوریتم ژنتیک تأثیر چند لایه بودن و اثر زاویه الیاف در نیروهای پیشran متفاوت بررسی شده است.

2-معادلات حرکت

بال مورد بررسی به صورت یک تیر نارک دارای دو درجه آزادی با اتصال صلب به بدنه تحت نیروی پیشran و همچنین جرم موتور در نظر گرفته شده است. از فرضیاتی که در این بررسی در نظر گرفته شده است می‌توان به عدم تغییر طول و تر بال از نوک تا ریشه اشاره نمود، همچنین بال حین جایجایی تاب بر نمی‌دارد و فرم و تر بال تغییر نمی‌کند. بال در جریان غیرقابل تراکم زیر صوت قرار دارد و از روابط لاغرانژ برای بدست آوردن معادلات آیروالاستیک حرکت استفاده شده و برای مدل کردن نیروهای آثروبدینامیک در حوزه زمان از تئوری واگرای^۱ [۱۴] استفاده شده است. جهت به دست آوردن بارهای آثروبدینامیکی از تئوری نوارهای باریک^۲ [۱۵] استفاده شده، و این نیروها در طول بال اعمال می‌گردد که بدین منظور در روش‌های تحلیلی مقدار نیروهای آثروبدینامیکی برای یک مقطع بال حساب شده و به طول بال تعمیم می‌دهیم. در تئوری نوار باریک توزیع فشار در هر مقطع بال تنها به جریان پایین شوینده^۳ همان مقطع بصورت دوبعدی وابسته است و تأثیر جریان اطراف مقاطع دیگر در نظر گرفته

¹ Wagner

² Strip theory

³ Downwash

$$\begin{aligned} \delta W &= \vec{P} \cdot \delta R_s \\ \vec{P} &= P \hat{j} \\ \delta R_s &= (-z_s \delta \theta') \hat{i} + (-z_s \delta \theta) \hat{j} + (\delta w + y_s \delta \theta) \hat{k} \\ \vec{P} \cdot \delta R_s &= [\vec{P} \hat{j} + P \theta \hat{k}] \cdot [(-z_s \delta w') \hat{i} + (-z_s \delta \theta) \hat{j} + (\delta w + y_s \delta \theta) \hat{k}] \end{aligned} \quad (13)$$

که در نهایت کار مجازی به صورت رابطه (14) نوشته خواهد شد:

$$\delta W_p = \int_0^l (-P z_s \delta \theta + P \theta \delta w + p y_s \theta \delta \theta) \delta(x - x_s) dx \quad (14)$$

شكل مدهای حرکتی روابط (15) و (16) را برای درجات آزادی جابجایی عمودی و چرخش بال در نظر گرفته که در این روابط $x = l$ می باشد.

$$\begin{aligned} F_h(\eta) &= \left(\frac{\sinh \beta_1 + \sin \beta_1}{\cosh \beta_1 + \cos \beta_1} \right) \cos(\beta_1 \eta) \\ &- (\cosh(\beta_1 \eta)) + \sinh(\beta_1 \eta) - \sin(\beta_1 \eta) \end{aligned} \quad (15)$$

$$F_\alpha(\eta) = \sqrt{2} \sin(\beta_2 \eta) \quad (16)$$

که مقادیر β_1 و β_2 برای چهار مد، به صورت رابطه (17) تعریف می شوند:

$$\begin{aligned} \beta_1 &= [1.8751, 4.69409, 7.85476, 10.9955, 14.1372] \\ \beta_2 &= (i - 0.5)\pi \end{aligned} \quad (17)$$

حال با استفاده از روش مدهای فرضی جابجایی و پیچش بال به شکل رابطه (18) تعریف می شود:

$$\begin{aligned} h &= F_h(\eta) h_1(t) \\ \alpha &= F_\alpha(\eta) \alpha_1(t) \end{aligned} \quad (18)$$

که در رابطه (8) Q_h و Q_α عبارتند از (رابطه (19)):

$$Q_h = -\rho U^2 b l \int_0^l dC_L F_h(\eta) d\eta \quad (19\text{-الف})$$

$$Q_\alpha = 2\rho U^2 b^2 l \int_0^l dC_M F_\alpha(\eta) d\eta \quad (19\text{-ب})$$

برای راحتی در امر محاسبات، روابط حاکمه را به صورت بی بعد بیان می نماییم. بدیم منظور پارامترهای بی بعد رابطه (20) را معرفی می نماییم:

$$\begin{aligned} \xi &= \frac{h}{b_n} & r_\alpha &= \sqrt{\frac{I_\alpha}{mb^2}} & \mu &= \frac{m}{\pi \rho b^2} \\ \eta &= \frac{y}{l} & U^* &= \frac{U}{b \omega_\alpha} & \zeta_\alpha &= \frac{1}{\pi} \frac{l C_\alpha}{\sqrt{I_\alpha G}} \\ \tau &= \frac{U t}{b} & \omega_\alpha &= \frac{\pi}{2} \sqrt{\frac{G J}{I_\alpha l^2}} & \omega_h &= (1.8751)^2 \sqrt{\frac{E I}{ml^4}} \\ \bar{\omega} &= \frac{\omega_h}{\omega_\alpha} & K &= \frac{k}{G J} & \zeta_\xi &= \frac{1}{(1.8751)^2} \frac{l^2 C_h}{\sqrt{m E I}} \\ b^* &= \frac{b}{l} & e^* &= x_a & M_s^* &= \frac{M_s}{ml} \\ I_s^* &= \frac{I_s}{I_\alpha l} & \lambda &= \frac{E I}{G J} & P &= \sqrt{\lambda} \frac{p l^2}{G J} \\ y_s^* &= \frac{y_s}{b} & z_s^* &= \frac{z_s}{l} \end{aligned} \quad (20)$$

و بدین ترتیب پس از ساده سازی های ممکن، معادلات نهایی بال کامپوزیتی تحت نیروی پیشran و جرم موتور به صورت روابط (21) و (22) (ارائه می شود):

$$\begin{aligned} C_0 \xi_1'' + C_1 \alpha_1'' + C_2 \xi_1' + C_3 \alpha_1' + C_4 \xi_1 + C_5 \alpha_1 \\ + C_6 w_1 + C_7 w_2 + C_8 w_3 + C_9 w_4 + \\ A_1 \left(\frac{1}{1.8751^4} \right) \left(\frac{\bar{\omega}}{U^*} \right)^2 G(\xi) \\ + A_{12} K b^* \left(\frac{r_\alpha}{U^*} \right)^2 \left(\frac{2}{\pi} \right)^2 M(\alpha) = f(\tau) \end{aligned} \quad (21)$$

$$\begin{aligned} D_0 \xi_1'' + D_1 \alpha_1'' + D_2 \xi_1' + D_3 \alpha_1' + D_4 \xi_1 + D_5 \alpha_1 \\ + D_6 w_1 + D_7 w_2 + D_8 w_3 + D_9 w_4 + A_2 \left(\frac{2}{\pi} \right)^2 \left(\frac{1}{U^*} \right)^2 M(\alpha) \\ + A_{12}^T b^* \left(\frac{1}{U^*} \right)^2 \left(\frac{2}{\pi} \right)^2 G(\xi) = g(\tau) \end{aligned} \quad (22)$$

که \hat{i}' و \hat{k}' بردارهای یکه در راستای y و z بعد از تغییر شکل بال هستند. اگر از ترم های غیر خطی صرف نظر شود، بردارهای یکه سیستم بعد از تغییر شکل بال به صورت رابطه (2) خواهد بود [18]:

$$\begin{Bmatrix} \hat{i}' \\ \hat{j}' \\ \hat{k}' \end{Bmatrix} = \begin{bmatrix} 1 & 0 & w' \\ 0 & 1 & \theta \\ -w' & -\theta & 1 \end{bmatrix} \begin{Bmatrix} i \\ j \\ k \end{Bmatrix} \quad (2)$$

حال اگر ماتریس رابطه (2) بسط داده شود ارتباط بین مختصات قبل و بعد از تغییر شکل به صورت رابطه (3) خواهد شد:

$$\begin{aligned} \hat{i}' &= \hat{i} + w' \hat{k} \\ \hat{j}' &= \hat{j} + \theta \hat{k} \\ \hat{k}' &= -w' \hat{i} - \theta \hat{j} + \hat{k} \end{aligned} \quad (3)$$

حال با جایگذاری روابط ارائه شده در رابطه (3) در رابطه (2) بردار تغییر مکان جرم مرکز برای مسئله مطلوب به صورت رابطه (4) خواهد بود:

$$R_s = (x + u - w' z_s) \hat{i} + (v + y_s - \theta z_s) \hat{j} + (w + \theta y_s + z_s) \hat{k} \quad (4)$$

برای محاسبه انرژی جنبشی جرم مرکز بردار جابجایی نسبت به زمان محاسبه شود. همان طور که در بالا هم اشاره شد از تغییر مکان های u و v صرف نظر می شود و رابطه نهایی مشتق جابجایی به صورت رابطه (5) خواهد بود:

$$\dot{R}_s = (-\dot{w}' z_s) \hat{i} + (-\dot{\theta} z_s) \hat{j} + (\dot{w} + \dot{\theta} y_s) \hat{k} \quad (5)$$

حال انرژی جنبشی جرم مرکز به صورت رابطه (6) محاسبه خواهد شد:

$$T_s = \frac{1}{2} \iiint_V M_s (\dot{R}_s \cdot \dot{R}_s) \delta(x - x_s) dV \quad (6)$$

با جایگذاری رابطه (5) در رابطه (6) انرژی جنبشی ناشی از جرم مرکز به صورت رابطه (7) خواهد شد:

$$\begin{aligned} T_s = \int_0^l & (M_s z_s^2 \dot{w}'^2 + M_s z_s^2 \dot{\theta}^2 + M_s \dot{w}^2 + M_s y_s^2 \dot{\theta}^2 + 2M_s y_s \dot{w} \dot{\theta} \\ & + I_s \dot{\theta}^2) \delta(x - x_s) dx \end{aligned} \quad (7)$$

برای به دست آوردن معادلات سیستم از روابط لگاریتم استفاده شده است که

برای بال دارای دو درجه آزادی به صورت رابطه (8) (بیان می شود):

$$\frac{d}{dt} \left(\frac{\partial T}{\partial \dot{h}_1} \right) - \frac{\partial T}{\partial h_1} + \frac{\partial V}{\partial h_1} + \frac{\partial D}{\partial h_1} = Q_h \quad (8\text{-الف})$$

$$\frac{d}{dt} \left(\frac{\partial T}{\partial \dot{\alpha}_1} \right) - \frac{\partial T}{\partial \alpha_1} + \frac{\partial V}{\partial \alpha_1} + \frac{\partial D}{\partial \alpha_1} = Q_\alpha \quad (8\text{-ب})$$

که در این روابط T انرژی جنبشی، V انرژی پتانسیل، D انرژی میرایی و Q نیروهای تعیین یافته می باشند. انرژی جنبشی بال برابر است با رابطه (9) [5]:

$$T = \frac{1}{2} \int_0^l (m \dot{h}^2 + 2m \dot{e} \dot{h} + I_\alpha \dot{\alpha}^2) dx \quad (9)$$

انرژی پتانسیل بال به صورت رابطه (10) محاسبه می شود:

$$V = \frac{1}{2} \int_0^l (G J \alpha'^2 + E I h''^2 + 2P(x_s - x) H(x_s - x) \alpha h'') dx \quad (10)$$

و انرژی میرایی را می توان به صورت رابطه (11) نوشت:

$$D = \frac{1}{2} \int_0^l (C_h \dot{h}^2 + C_\alpha \dot{\alpha}^2) dx \quad (11)$$

کار نیروهای آبیودینامیکی به صورت رابطه (12) نوشته می شود:

$$\delta W_A = \int_0^l (-L \delta h + M \delta \alpha) dx \quad (12)$$

کار نیروهای خارجی ناشی از نیروی پیشran را می توان به صورت رابطه (13) محاسبه نمود:

پیشran تعقیب کننده زیاد باشد بدون حضور نیروهای آبرودینامیکی، بال می‌تواند ناپایدار گردد [13,10,5]. در چنین موقعی سرعت ناپایدار کننده جریان صفر است.

4-مدل‌سازی بال

بال مورد بررسی یک ورق مستطیلی است. مشخصات فیزیکی بال کامپوزیتی در جدول 1 آمده است. همچنین مشخصات ماده کامپوزیتی و مشخصات سطح مقطع در جدول 2 آمده است.

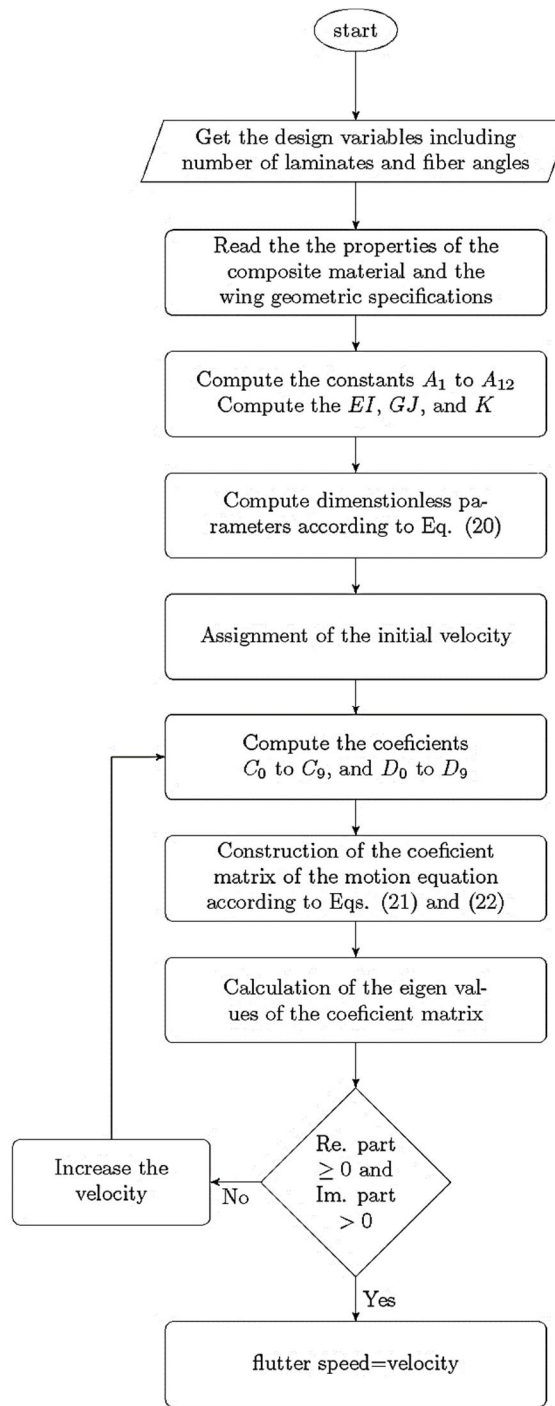


Fig. 4 Flutter speed computation flowchart

شکل 4 روند نمای محاسبه سرعت فلاتر

ثابت‌های A_1, A_2, \dots, A_{12} عباراتی برحسب شکل مدهای مربوط به خمس و پیچش می‌باشند و ضرایب C_0, C_1, \dots, C_9 و D_0, D_1, \dots, D_9 و w_1, \dots, w_4 در مرجع [13] معرفی شده‌اند.

همچنین سختی‌های پیچشی و خمشی و کوبیلینگ بین آن‌ها برای چند لایه کامپوزیتی به صورت رابطه (23) محاسبه خواهد شد [19]:

$$EI = b \left(D_{22} - \frac{D_{12}^2}{D_{11}} \right) \quad (23\text{-الف})$$

$$GJ = 4b \left(D_{66} - \frac{D_{16}^2}{D_{11}} \right) \quad (23\text{-ب})$$

$$K = 2b \left(D_{26} - \frac{D_{16} D_{12}}{D_{11}} \right) \quad (23\text{-پ})$$

چند لایه کامپوزیتی در این تحقیق متقارن در نظر گرفته شده است.

برای محاسبه D_{ij} از رابطه (24) استفاده کردایم [19].

$$D_{ij} = \frac{1}{3} \sum_{k=1}^{nol} \left(\bar{Q}_{ij} \right)_k (h_k^3 - h_{k-1}^3) \quad (24)$$

1-2- مدل نیرو و ممان‌های آبرودینامیکی غیردائم به وسیله تابع واگنر

معادلات استفاده شده برای نیروی برآ و گشتاور آبرودینامیکی در حوزه زمان به صورت روابط (25) و (26) می‌باشد [13]:

$$\begin{aligned} dC_L(\tau) = & \pi(\xi'' - a_h \alpha'' + \alpha') \\ & + 2\pi(\alpha(0) + \xi'(0) + (\frac{1}{2} - a_h)\alpha'(0))\phi(\tau) \\ & + 2\pi \int_0^\tau \phi(\tau - \sigma)(\alpha'(\sigma) + \xi'(\sigma) + (\frac{1}{2} - a_h)\alpha''(\sigma))d\sigma \end{aligned} \quad (25)$$

$$\begin{aligned} dC_M(\tau) = & \pi(\frac{1}{2} - a_h)(\alpha(0) + \xi'(0) + (\frac{1}{2} - a_h)\alpha'(0))\phi(\tau) \\ & + \frac{\pi}{2} a_h (\xi' - a_h \alpha'') + \pi(\frac{1}{2} + a_h) \int_0^\tau \phi(\tau - \sigma)(\alpha'(\sigma)) \\ & + \xi'(\sigma) + (\frac{1}{2} - a_h) \alpha'(\sigma)d\sigma \end{aligned} \quad (26)$$

که در روابط (25) و (26)، $\phi(\tau)$ تابع واگنر می‌باشد که با توجه به تقریب جونز¹ [20] داریم (رابطه (27)): (27)

$$\begin{aligned} \phi(\tau) = & 1 - \psi_1 e^{-\varepsilon_1 \tau} - \psi_2 e^{-\varepsilon_2 \tau} \\ \psi_1 = 0.165, \psi_2 = 0.335, \varepsilon_1 = 0.0455, \varepsilon_2 = 0.3 \end{aligned} \quad (27)$$

در روابط (25) و (26)، ξ جابجایی بی‌بعد و α پیچش مقطع بال می‌باشد.

3-محاسبه سرعت فلاتر

برای محاسبه سرعت فلاتر بال هواپیما ابتدا باید با استفاده از مدهای فرضی (رابطه (18)) معادلات حرکت سیستم که همان روابط (21) و (22) می‌باشند به فرم ماتریسی تبدیل نمود. قسمت حقیقی مقادیر ویژه ماتریس ضرائب این معادله ماتریسی همان میرایی مودال و قسمت موهومی آن فرکانس کاهش بافته می‌باشد. سرعت ناپایداری مربوط به زمانی است که میرایی مودال از مقادیر منفی به مقدار مثبت زمانی که فرکانس کاهش یافته مثبت است، تغییر می‌یابد. بنابراین می‌توان با افزایش تدریجی سرعت جریان و محاسبه مقدار میرایی مودال و فرکانس کاهش یافته متناظر برای هر سرعت با توجه به وقوع شرط فوق مقدار سرعت فلاتر را تعیین نمود. روند محاسبه سرعت فلاتر در این مقاله در "شکل 4" نشان داده شده است. لازم به ذکر این که در صورت اضافه شدن نیروی پیشran تعقیب کننده به سیستم بال، خود این نیرو نیز عاملی برای ناپایداری می‌باشد. این بدان معنی است که اگر مقدار نیروی

¹ Jones

سرعت همگرایی برای رسیدن به جواب بهینه افزایش یافته است. تابع جهش در این مقاله تابع گائوس⁴ انتخاب شده و مقیاس⁵ آن را از ۱ به ۵ تغییر داده شده است.

6-1- تابع هدف

در این تحقیق برای بهینه‌سازی یک هدف دنبال می‌شود که همان افزایش سرعت ناپایداری بال کامپوزیتی است. تابع هدف، سرعت ناپایداری بال کامپوزیتی می‌باشد که توسط زیر برنامه‌ای که براساس روند نمای "شکل ۴" تهیه شده، برآورد می‌گردد.

6-2- متغیرهای طراحی

متغیرهای طراحی همان مسئله همان زوایه الیاف برای هر لایه است. چون ورق باید به صورت متقاضن طراحی شود، به ازای k لایه، $k/2$ مجھول وجود دارد. مثلاً اگر بال از ۱۰ لایه تشکیل شده باشد، آن‌گاه تعداد متغیرهای طراحی برابر ۵ خواهد بود. لازم به ذکر این که ضخامت بال در این مقاله ثابت در نظر گرفته شده است، در نتیجه با افزایش تعداد لایه‌ها ضخامت هر لایه کاهش می‌یابد. کرانه‌های پایین و بالا برای زوایه الیاف به صورت رابطه (28) است:

$$(28) \quad -90 \leq \theta \leq 90$$

6-3- پیاده سازی

همان‌طوری که قبلاً ذکر گردید در این مقاله از الگوریتم ژنتیک برای بهینه‌سازی سرعت ناپایداری بال‌های کامپوزیتی استفاده خواهد شد. در روش الگوریتم ژنتیک هر کدام از افراد نسل، دارای یک کروموزوم متشکل از چندین ژن هستند. در این مقاله با توجه به درنظر گرفتن لایه‌چینی متقاضن، تعداد ژن‌های هر کروموزوم برابر نصف تعداد لایه‌ها (k) می‌باشد. و مقدار هر ژن نشان‌دهنده زوایه الیاف در محدوده رابطه (28) می‌باشد. روند محاسبات الگوریتم ژنتیک مطابق گام‌های زیر می‌باشد:

گام صفر: ایجاد تصادفی نسل اول بطوری که مقدار تمامی ژن‌ها در محدوده رابطه (28) قرار داشته باشند.

گام ۱: محاسبه سرعت ناپایداری مربوط به هر یک از افراد نسل حاضر مطابق روند نشان داده شده در "شکل ۴".

گام ۲: رتبه بندی افراد نسل حاضر براساس مقدار تابع هدف آنها و تولید نسل بعدی توسط عملیات انتخاب، تقاطع و جهش.

گام ۳: کنترل معیار توقف و در صورت ارضاء نشدن آن در نظر گرفتن نسل تولید شده در گام ۲ به عنوان نسل حاضر و رفتن به گام ۱. معیار توقف در نظر گرفته شده در این مقاله حداقل تعداد نسل ۵۰ یا این که در ۱۰ نسل متوالی مقدار بهینه ثابت باشد.

7- نتایج

برای بال‌ها در شرایط مختلف از نظر جرم موتور، تعداد لایه‌ها و نیروی پیشران با استفاده از الگوریتم ژنتیک لایه چینی مناسب برای حداکثر نمودن سرعت فلاتر تعیین گردیده است. سپس حساسیت سرعت فلاتر بهینه نسبت به تعداد لایه‌ها، جرم موتور و نیروی پیشران از طریق مقایسه نتایج تعیین شده است. در ادامه نتایج بدست آمده ارائه می‌گردد. ابتدا بهینه‌سازی برای بال بدون جرم موتور و نیروی پیشران انجام داده شده است. همان‌طور که در "شکل ۶" مشاهده می‌شود با افزایش تعداد

5- اعتبارسنجی

سرعت فلاتر محاسبه شده با معادلات به دست آمده توسط نرم‌افزار متلب و سرعت به دست آمده از مرجع [21] برای مشخصات بال هیل (جدول ۱ و ۲) در جدول ۳ مقایسه شده است. لازم به ذکر است که بال در نظر گرفته شده در مرجع [21] همگن می‌باشد که در این مقاله برای صحبت‌سنجی زاویه الیاف صفر درنظر گرفته شده است. همچنین برای صحبت‌سنجی مناسب‌تر از مشخصات بال کامپوزیتی گلن [19] استفاده شده است که در جدول ۳ مقایسه سرعت فلاتر محاسبه شده برای آن ارائه شده است. مقایسه نتایج تطبیق خوبی را نشان می‌دهد. همچنین "شکل ۵" نمونه‌ای از نمودار به هم آمیختگی فرکانس و صفر شدن میرایی و رخداد پدیده فلاتر بال کامپوزیتی گلن را نشان می‌دهد.

6- الگوریتم ژنتیک

برای بهینه‌سازی در این مقاله از الگوریتم ژنتیک در فضای نرم‌افزاری متلب استفاده شده به گونه‌ای که تعداد جمعیت ۲۵۰ و تعداد نسل‌ها ۱۰۰ در نظر گرفته شده است. جمعیت اولیه (نسل اول) برای شروع بهینه‌سازی به صورت تصادفی تولید شده است. برای عملیات اصلی در الگوریتم ژنتیک شامل انتخاب^۱، تقاطع^۲ و جهش^۳ از پیش فرض‌های نرم‌افزار متلب در گام نخست استفاده شد و پس از بررسی حالات مختلف با ایجاد تغییر در تابع جهش

جدول ۱ مشخصات ساختاری و هندسی بال

Table 1 Geometrical specification of the composite wing

پارامتر	مقادیر
طول بال (L)	16 (m)
نصف طول وتر بال	0.5 (m)
جرم بر واحد طول	0.75 (kg/m)
ممان اینرسی	0.1 (kg.m)
چگالی هوای	0.0889 (kg.m ⁻³)

جدول ۲ مشخصات ماده کامپوزیتی و سطح مقطع بال

Table 2 Material specification of the composite wing

پارامتر	مقادیر
E1	2×10^{11} (Pa)
E2	5×10^9 (Pa)
G12	5×10^8 (Pa)
v12	0.25
پهنهای تیر بال	0.24 (m)
ضخامت تیر بال	0.017 (m)

جدول ۳ اعتبارسنجی بال کامپوزیتی

Table 3 Validation of composite wing

بال هیل	سرعت فلاتر (m/s)	سرعت فلاتر (m/s)	بال گلن
مرجع [21]	32.2	[19]	135.71
حاضر	32.4	[22]	136.24
حاضر			135.9

¹ Selection² Crossover³ Mutation⁴ Gaussian Scale

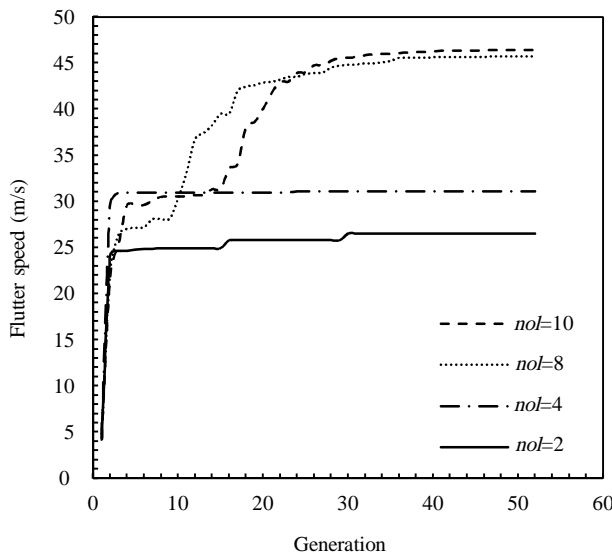
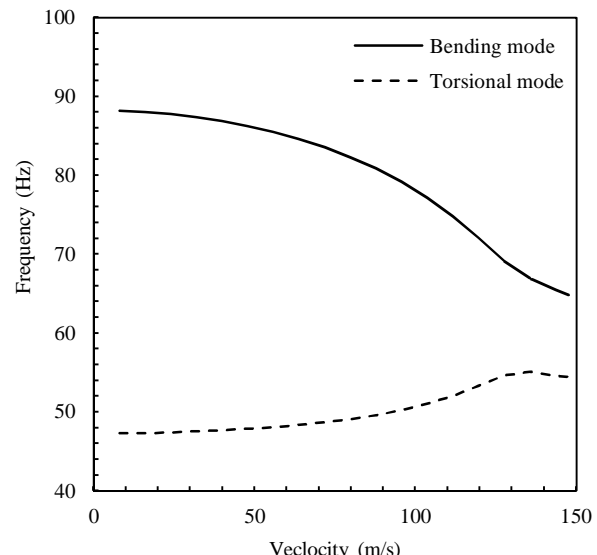


Fig. 6 Flutter speed optimization process of wing without engine mass and thrust for the various layers

شکل ۶ روند بهینه سازی سرعت فلاتر بال بدون جرم موتور و نیروی پیشran برای لایه های مختلف



a) Frequency vs air speed plot

الف) نمودار فرکانس برحسب سرعت جریان

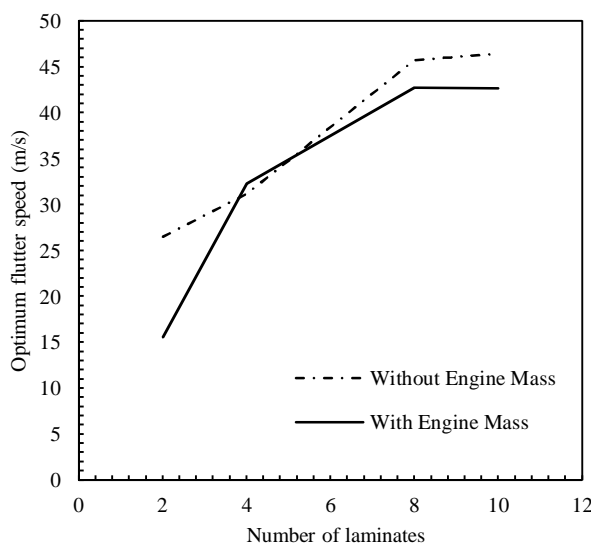
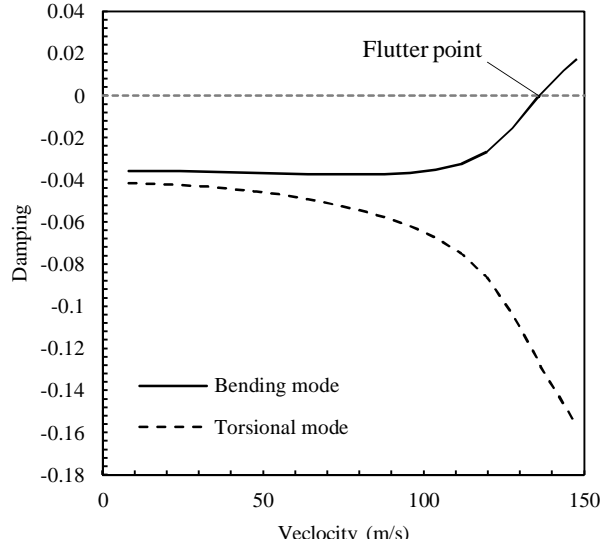


Fig. 7 Optimum flutter speed of wing without thrust for the various layers

شکل ۷ سرعت فلاتر بهینه بال بدون نیروی پیشran برای لایه های مختلف

شده است. بررسی نتایج نشان می دهد سرعت فلاتر برای نیروی پیشran حدودا 2 p حداکثر می باشد.

در تحلیلی دیگر بهینه سازی را برای تعداد لایه ها زمانی که نیروی پیشran ثابت فرض شده، انجام گرفته است. همان طور که انتظار می رفت با توجه به "شکل های 12 تا 16" مشاهده می شود که با افزایش تعداد لایه ها سرعت ناپایداری افزایش یافته است. علت این امر نیز به این خاطر است که با افزایش تعداد لایه ها درجه تنظیم پذیری بال برای بهینه نمودن سرعت فلاتر پیشتر می شود. همچنین نتایج نشان می دهد که سرعت فلاتر برای تعداد لایه های 8 و 10 تفاوت چندانی ندارد و می توان نتیجه گرفت که از دیاد تعداد لایه ها بیشتر از 8 لایه تاثیری در سرعت بهینه فلاتر ندارد.



b) Damping vs air speed plot

ب) نمودار میرابی برحسب سرعت جریان

Fig. 5 Variation of frequency and damping vs air speed for Goland wing

شکل ۵ تغییرات فرکانس و میرابی برحسب سرعت جریان برای بال گلن

لایه ها سرعت ناپایداری بال افزایش یافته همچنین افزایش تعداد لایه ها در این نوع بال از 8 لایه به 10 لایه تأثیر چندانی نداشته است. به طور اختصار در نمودارها تعداد لایه ها با nol^1 و نیروی پیشran بی بعد با p نمایش داده شده است. در "شکل 7" سرعت فلاتر بهینه بال با نیروی پیشran صفر در دو حالت بدون جرم موتور و با در نظر گرفتن جرم موتور ($M_s = 11 \text{ kg}$), ترسیم شده است. همان طوری که ملاحظه می گردد جرم موتور سرعت بهینه فلاتر را در اکثر موارد کاهش می دهد.

سپس بهینه سازی را برای نیروی پیشran مختلف در تعداد لایه های مشخص انجام شده است و نتایج آن در "شکل های 8 تا 11" نمایش داده

¹ Number of laminate

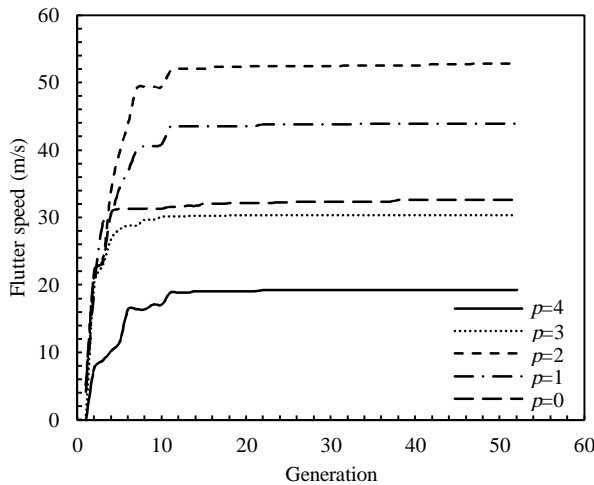


Fig. 11 Flutter speed optimization process of 10 layer wing for different thrust

شکل 11 روند بهینه‌سازی سرعت فلتر بال 10 لایه برای نیروی پیشran مختلف

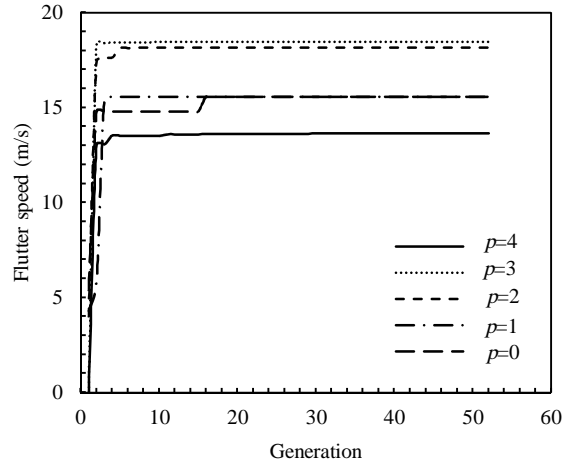


Fig. 8 روند بهینه سازی سرعت فلتر بال 2 لایه برای نیروی پیشran مختلف

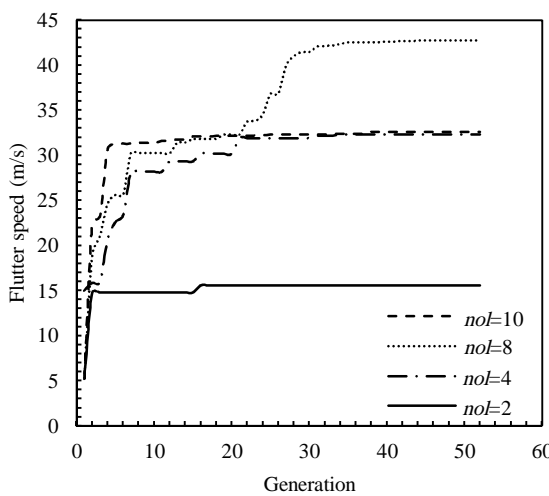


Fig. 12 Flutter speed optimization process of $p=0$ thrust for different layers

شکل 12 روند بهینه‌سازی سرعت فلتر تحت نیروی پیشran $p=0$ برای لایه‌های مختلف

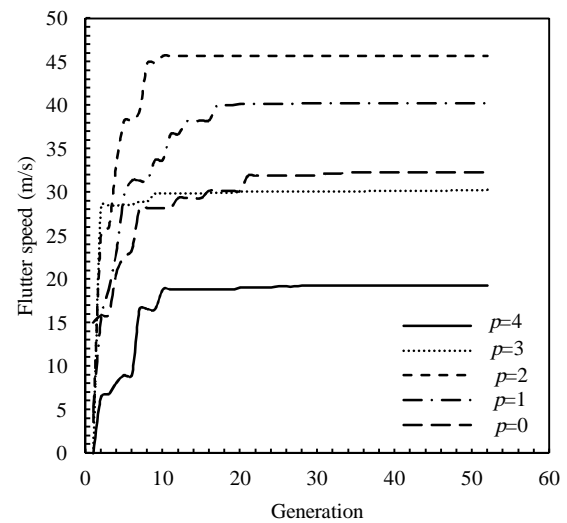


Fig. 9 Flutter speed optimization process of 4 layer wing for different thrust

شکل 9 روند بهینه‌سازی سرعت فلتر بال 4 لایه برای نیروی پیشran مختلف

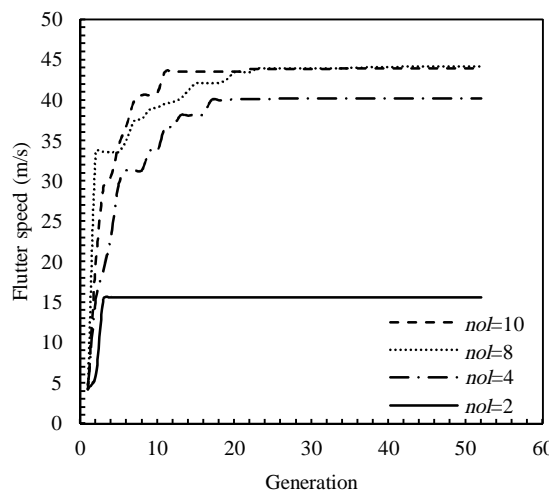


Fig. 13 Flutter speed optimization process of $p=1$ thrust for different layers

شکل 13 روند بهینه‌سازی سرعت فلتر تحت نیروی پیشran $p=1$ برای لایه‌های مختلف

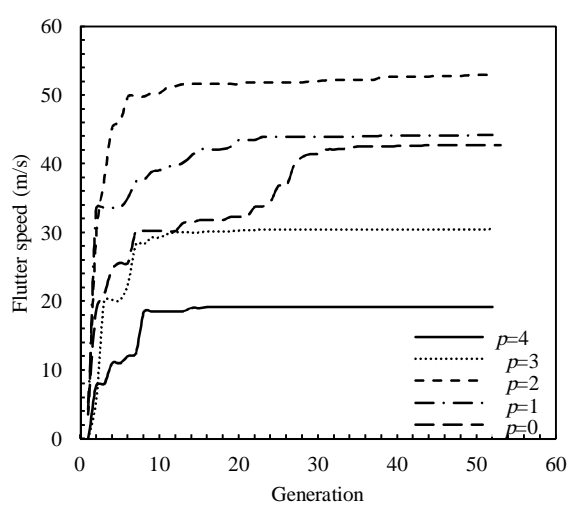


Fig. 10 Flutter speed optimization process of 8 layer wing for different thrust

شکل 10 روند بهینه‌سازی سرعت فلتر بال 8 لایه برای نیروی پیشran مختلف

به منظور جمع‌بندی نهایی سرعت فلاتر بهینه برای حالات مختلف در نظر گرفته شده در این مقاله در "شکل‌های 17 و 18" ارائه شده که یک تحلیل کلی از مسئله می‌باشد. همان‌طور که در "شکل 17" ملاحظه شده با افزایش تعداد لایه‌ها از تعدادی مشخص به بعد تأثیر چندانی نداشته است. به عنوان نمونه برای نیروی پیشran بدون بعد $p=4$ افزایش تعداد لایه‌ها از 4 به بعد تأثیری بر سرعت فلاتر بهینه نخواهد داشت ولی با کاهش نیروی پیشran قابلیت تنظیم‌پذیری سرعت فلاتر بهینه بیشتر می‌گردد. نتایج "شکل 18" نشان می‌دهد که سرعت فلاتر بهینه ابتدا با افزایش نیروی پیشran بدون بعد تا مقدار حدوداً $p=2$ افزایش می‌یابد و بعد از آن روند نزولی خواهد داشت. زوایای بهینه لایه‌ها در تحلیل‌های مختلف جمع‌آوری و به صورت جداول 4 تا 9 ارائه شده است. مقایسه نتایج به دست آمده برای زوایای الیاف روند خاصی را نشان نمی‌دهد ولی در عوض قابلیت تنظیم‌پذیری یک بال کامپوزیتی

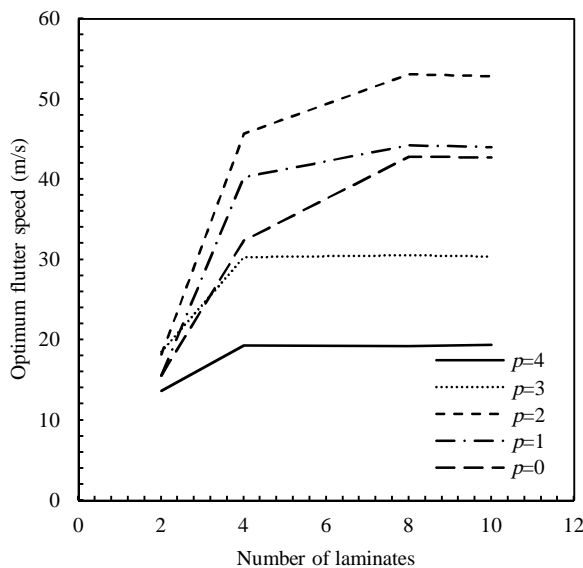


Fig. 17 Optimum flutter speed for different layers

شکل 17 سرعت فلاتر بهینه برای تعداد لایه‌های مختلف

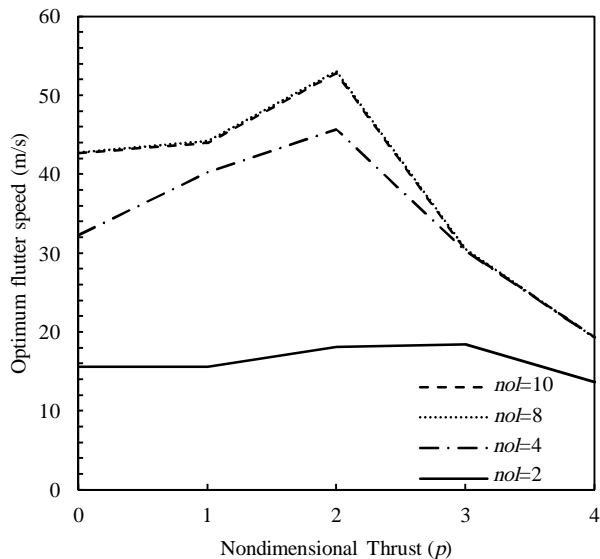
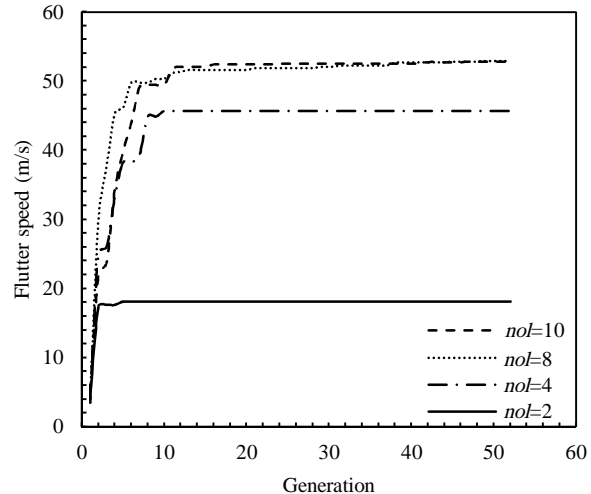


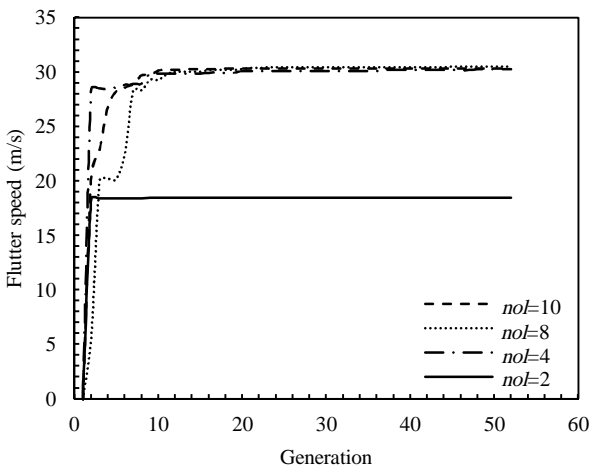
Fig. 18 Optimum flutter speed for different thrust forces

شکل 18 سرعت فلاتر بهینه برای نیروهای پیشran مختلف



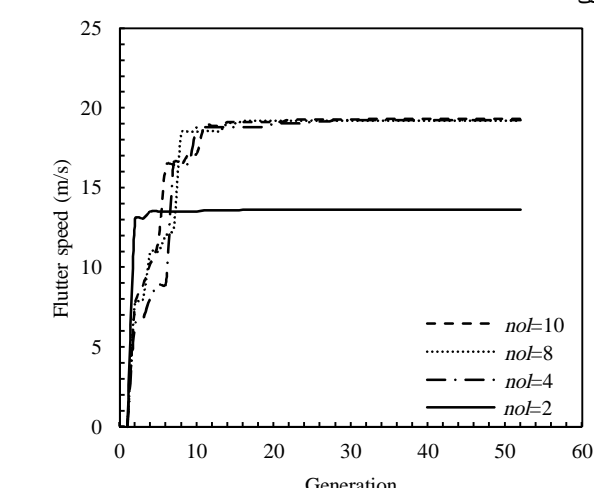
شکل 14 روند بهینه‌سازی سرعت فلاتر تحت نیروی پیشran $p=2$ برای لایه‌های مختلف

شکل 14 روند بهینه‌سازی سرعت فلاتر تحت نیروی پیشran $p=2$ برای لایه‌های مختلف



شکل 15 روند بهینه‌سازی سرعت فلاتر تحت نیروی پیشran $p=3$ برای لایه‌های مختلف

شکل 15 روند بهینه‌سازی سرعت فلاتر تحت نیروی پیشran $p=3$ برای لایه‌های مختلف



شکل 16 روند بهینه‌سازی سرعت فلاتر تحت نیروی پیشran $p=4$ برای لایه‌های مختلف

شکل 16 روند بهینه‌سازی سرعت فلاتر تحت نیروی پیشran $p=4$ برای لایه‌های مختلف

به دلیل زیاد بودن نیروی پیشران سرعت فلاتر محاسبه شده به ازای زوایای اولیه الیاف صفر می‌باشد. ولی با استفاده از الگوریتم ژنتیک و تنظیم زوایای الیاف مقدار سرعت فلاتر افزایش یافته است. این مساله نشان دهنده قابلیت تنظیم‌پذیری بال کامپوزیتی در نیروهای پیشران زیاد می‌باشد.

را به منظور بهینه نمودن سرعت فلاتر نسبت به زاویه الیاف را نشان می‌دهد. همان‌طوری که قبل از ذکر گردید، جمعیت اولیه (تسل اول) به صورت تصادفی تولید شده است. در جداول 4 تا 9 زاویه اولیه در نظر گرفته شده برای الیاف در تحلیل‌های مختلف نشان داده شده است. در جدول‌های 8 و 9

جدول 4 نتایج برای بال بدون جرم موتور و نیروی پیشران

Table 4 Results for wing without engine mass and thrust

سرعت فلاتر بهینه (m/s)	زاویه بهینه الیاف	سرعت فلاتر (m/s)	زاویه اولیه الیاف	تعداد لایه
26.5	[−2.7]s	4.22	[0.003]s	2
31.1	[−6.5,4]s	4.22	[0.001,0.04]s	4
45.7	[−45.5,46.46,−29]s	4.9	[−0.53,0.2,−0.23,−1.06]s	8
46.4	[−45,45,45,44,39]s	4.44	[−0.085,−0.509,0.505,0.39,−0.5]s	10

جدول 5 نتایج برای بال با جرم موتور و نیروی پیشران صفر

Table 5 Results for wing with engine mass and zero thrust

سرعت فلاتر بهینه (m/s)	زاویه بهینه الیاف	سرعت فلاتر (m/s)	زاویه اولیه الیاف	تعداد لایه
15.6	[−2.8]s	5.4	[−0.19]s	2
32.3	[−5,16.5]s	15.01	[−1.75,−0.024]s	4
42.75	[37,−55,−22,11.5]s	5.27	[1.77,−1.27,−0.57,−0.52]s	8
42.7	[31.7,−51.3,51.5,−25,−1.5]s	5.01	[0.012,0.12,0.048,0.62,0.47]s	10

جدول 6 نتایج برای بال با جرم متمرکز و نیروی پیشران $p=1$ Table 6 Results for wing with mass and $p=1$ thrust

سرعت فلاتر بهینه (m/s)	زاویه بهینه الیاف	سرعت فلاتر (m/s)	زاویه اولیه الیاف	تعداد لایه
15.6	[−2.8]s	4.3	[0.0056]s	2
40.2	[−6.2,29]s	4.74	[−0.487,0.485]s	4
44.2	[−9.2,7.5,−24,24]s	4.24	[0.024,0.16,0.1,0.7]s	8
44	[−16,6,2.3,−2,2.2]s	4.23	[0.053,0.15,0.15,0.036,0.34]s	10

جدول 7 نتایج برای بال با جرم موتور و نیروی پیشران $p=2$ Table 7 Results for wing with engine mass and $p=2$ thrust

سرعت فلاتر بهینه (m/s)	زاویه بهینه الیاف	سرعت فلاتر (m/s)	زاویه اولیه الیاف	تعداد لایه
18.1	[−4.3]s	4	[−0.5]s	2
45.7	[−9,27]s	3.6	[0.08,−0.6]s	4
53.1	[−16.7,−2.2,25,21]s	3.53	[0.05,0.08,2,0.3,0.96]s	8
52.8	[−18,−8.3,19.6,1.3,0.3]s	5.15	[−2.16,−0.84,1,1.13,−1.4]s	10

جدول 8 نتایج برای بال با جرم موتور و نیروی پیشران $p=3$ Table 8 Results for wing with engine mass and $p=3$ thrust

سرعت فلاتر بهینه (m/s)	زاویه بهینه الیاف	سرعت فلاتر (m/s)	زاویه اولیه الیاف	تعداد لایه
18.5	[−4]s	0	[−0.5]s	2
30.3	[−11.6,7.8]s	0	[1.2,−0.5]s	4
30.5	[−9.3,−15.8,3,24]s	0	[−0.26,1.09,−0.88,−0.52]s	8
30.3	[−16,−3,−7.5,−0.5,5.7]s	0	[0.033,0.85,−1.8,−0.05,−2.06]s	10

جدول 9 نتایج برای بال با جرم موتور و نیروی پیشران $p=4$ Table 9 Results for wing with engine mass and $p=4$ thrust

سرعت فلاتر بهینه (m/s)	زاویه بهینه الیاف	سرعت فلاتر (m/s)	زاویه اولیه الیاف	تعداد لایه
13.6	[−8]s	0	[2.3]s	2
19.2	[−18.5,−7]s	0	[1.15,1.5]s	4
19.2	[−19.5,−14,−10,−8]s	0	[0.56,1.66,0.52,−0.9]s	8
19.3	[−17,−18.6,−16.2,−5.7,15.7]s	0	[−0.35,0.9,2.5,−2.2,0.03]s	10

8-نتیجه گیری

در این مقاله سرعت فلاتر بهینه یک بال کامپوزیتی برای حالت‌های مختلف تعداد لایه‌ها و نیروی پیشran موتور با در نظر گرفتن جرم مرکز موتور با استفاده از الگوریتم ژنتیک تعیین گردید. با استفاده از مقایسه نتایج به دست آمده تأثیر تعداد لایه‌ها و نیروی پیشran موتور بر سرعت فلاتر بهینه بررسی شد. اهم نتایج بدست آمده عبارتند از:

- با افزایش تعداد لایه‌ها تنظیم‌پذیری بال در بهینه نمودن سرعت فلاتر بیشتر می‌گردد. با این وجود افزایش تعداد لایه‌ها از 8 لایه به بعد تغییر محسوسی در سرعت بهینه فلاتر برای حالات مختلف نیروی پیشran ایجاد نمی‌کند.
- هرچه تعداد لایه‌ها بیشتر باشد حساسیت سرعت فلاتر بهینه نسبت به نیروی پیشran بیشتر خواهد شد.
- با افزایش نیروی پیشran ابتدا سرعت فلاتر بهینه زیاد می‌گردد و سپس مقدار آن کاهش می‌پابد.
- سرعت فلاتر بهینه در نیروی پیشran بدون بعد حدوداً $p=2$ برای تمامی حالات حداقل می‌باشد.
- به ازای نیروی پیشran بدون بعد $p=3$ و $p=4$ به ازای زوایای اولیه در نظر گرفته شده برای الیاف سرعت فلاتر محاسبه شده صفر بوده ولی با تنظیم مناسب این زوایا مقدار سرعت فلاتر افزایش چشمگیری داشته است که این امر نشان‌دهنده قابلیت تنظیم پذیری بال کامپوزیتی می‌باشد.

9-فهرست علائم

a_h	فاصله بدون بعد از وسط وتر تا محور الاستیک
b	نصف وتر
D	انرژی میرایی
$F_h(\eta), F_\alpha(\eta)$	مود شیپ‌های خمی، پیچشی
h_k	ارتفاع لایه k ام
M_s	جرم موتور
p	تراسیت بی بعد موتور
R_s	بردار موقعیت جرم مرکز
T	انرژی جنبشی
T_s	انرژی جنبشی جرم مرکز
U	سرعت نرمال جریان بر بال
V	انرژی پتانسیل
x_a	فاصله بدون بعد از محور الاستیک تا مرکز ثقل

علائم یونانی

α	زاویه پیچش
$\varepsilon_1, \varepsilon_2$	ثوابت تابع واگر
θ	زاویه الیاف
ρ	چگالی هوا
τ	زمان بی بعد
ψ_1, ψ_2	ثوابت تابع واگر
$\omega_\alpha, \omega_\zeta$	فرکانس پیچشی و خمی

- [22] E. L. Brown, *Integrated strain actuation in aircraft with highly flexible composite wings*, PhD Thesis, Massachusetts Institute of Technology, Massachusetts, 2003 .
- [21] M. J. Patil, D. H. Hodges, C. E. Cesnik, Limit-cycle oscillations in high-aspect-ratio wings, *Journal of Fluids and Structures*, Vol. 15, No. 1, pp. 107-132, 2001 .